ASR 膨張によりせん断補強筋の破断が生じた RC はり部材の耐荷特性に関する研究

大阪工業大学大学院 学生員 〇稲増 克行 大阪工業大学大学院 学生員 高橋 勇希 大阪工業大学工学部 正会員 三方 康弘 大阪工業大学工学部 正会員 井上 晋

1. 研究目的

近年、ASR 劣化が進行したコンクリート構造物中の鉄筋の曲げ加工部等における破断事例が複数報告されている. 鉄筋破断が生じた RC 部材の残存耐荷性能を適切に評価するためには、ASR 劣化の進行程度および鉄筋破断の有無が部材の耐荷特性に及ぼす影響を明確にしておく必要がある. そこで、本研究では ASR 膨張によりせん断補強筋の破断が生じたRC はり部材の耐荷特性を把握することを目的として実験的検討を行った.

2. 実験概要

供試体には図-1 に示す単鉄筋長方形断面を有す る全長 2000mm の RC はりを使用した. せん断補強 筋が健全な供試体 (a), せん断補強筋の断面引張側 隅角部を切断した供試体 (b), およびせん断補強筋 が健全な場合では、その曲げ半径を10と20の2種 類、合計3種類を用意した. コンクリートには自由 膨張量 4439 µ (材齢 1100 日) の ASR コンクリート (f'c=26.5N/mm²) と普通コンクリート (f'c=28.2N/mm²) の2種類を用いた. 主鉄筋には5 -D19 (p=1.59%, $f_{sv}=378N/mm^2$), せん断補強筋に は D10 $(f_{wv}=356N/mm^2)$ を用い、せん断補強筋間隔 は 120mm (p_w=0.4%) とした. これらの要因の組み 合わせにより、表-1に示す合計 4 体の供試体を作製 した. 載荷試験方法は、せん断スパン 520mm とした 対称2点集中荷重方式(a/d=2.00)とし、破壊に至る まで単調漸増型載荷とした. なお, これらの供試体

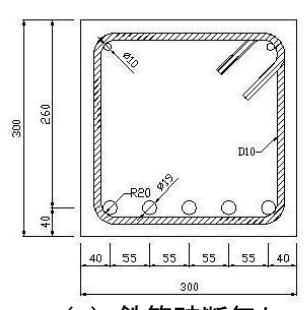
はすべてせん断破壊が先行するよう設計されている.

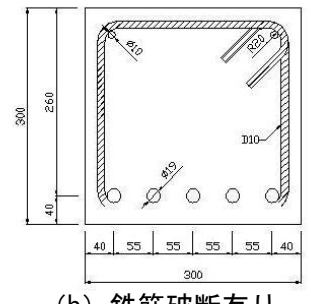
3. 載荷試験時の劣化状況

載荷前の 0.2mm 以上のひび割れ密度を表-1 に示す. せん断補強筋破断の有無による比較を行うと, H-2 供試体の方が大きくなった. これは, せん断補強筋破断を模擬していることで ASR 膨張によるひび割れが主鉄筋に沿って入りやすく, 鉄筋による拘束も無いことからひび割れ幅が増大しやすかったためであると考えられる. また, 曲げ半径 1 Φ を作製した理由は, 屋外暴露試験中にせん断補強筋破断を生じさせるためであったが, 本実験結果からは破断を生じさけるためであったが, 本実験結果からは破断を生じた傾向は見られず, また, 耐荷特性も曲げ半径の違いによる影響は認められなかった.

4. 載荷試験結果

本実験における各供試体の最大荷重実測値,破壊形式および曲げ耐力・せん断耐力計算値を表-1に示す.表より最大荷重の実測値が計算値を上回ったことから,本実験程度の膨張量であればASR 損傷による大きな耐力低下は見られなかったと言える. ただ





(a) 鉄筋破断無し

(b) 鉄筋破断有り

図-1 供試体断面図(単位:mm)

表-1 RC はり供試体の詳細および試験結果

		せん断補強筋				0.2mm		せん断耐力計算値(内訳)					
供試体名	コンク リート の種類	鉄筋 破断の 有無	配置間隔 s	曲げ 半径	載荷時 の 材齢	以上の ひび割れ 密度	曲げ 耐力 計算値	せん断 耐力 計算値	Vc	Vs	Vy	最大 荷重 実測値	破壊形式
		/月 /ボ	(mm)		(日)	(m/m^2)	Pu (kN)	2Vy (kN)	(kN)	(kN)	(kN)	(kN)	
N-1	普通	無	120	2 φ	1100	_	460.8	354.3	81.4	95.7	177.1	510.6	せん断圧縮
H-1	ASR	無	120	2 φ	1100	8.74	455.6	350.9	79.8	95.7	175.5	614.9	曲げ引張
H-2	ASR	有	120	2 φ	1100	9.16	455.6	350.9	79.8	95.7	175.5	576.0	せん断付着
H-3	ASR	無	120	1 φ	1100	9.38	455.6	350.9	79.8	95.7	175.5	562.1	曲げ引張

キーワード ASR, 鉄筋破断, 耐荷特性, ケミカルプレストレス

連絡先 〒535-8585 大阪府大阪市旭区大宮 5-16-1 TEL 06-6954-4109

し、せん断補強筋が破断している H-2 供試体は最終的にせん断付着破壊に至った.

5. 載荷後のひび割れ状況

各供試体の載荷後のひび割れ状況を図-2に示す.

ASR の有無による比較を行うと、N-1 供試体ではせん断ひび割れの進展が顕著に見られ、せん断圧縮破壊に至ったが、H-1 供試体ではせん断ひび割れの進展が顕著に見られず、ASR 膨張によるひび割れに沿ってひび割れが進展していく傾向が見られた.これは、ケミカルプレストレスによりコンクリートのせん断耐力が向上したためと考えられる.

せん断補強筋破断の有無による比較を行うと, H-2 供試体では付着せん断ひび割れの進展が見られた. これは, せん断補強筋破断を模擬しているため主鉄 筋のダウエル力に抵抗する力が弱くなり, 付着せん 断ひび割れの進展が顕著になることで, 最終的にせ ん断付着破壊に至ったと考えられる.

6. 荷重一中央変位関係

荷重-中央変位関係を図-3に示す.

ASR の有無による比較を行うと、N-1 供試体は最大荷重到達後、せん断圧縮破壊に至ったが、H-1 供試体は最大荷重到達後、変位が増加するにつれ荷重が徐々に低下する挙動を示した。これは、ケミカルプレストレスによりせん断耐力が向上したことで、曲げ破壊に移行したためであると考えられる。

せん断補強筋破断の有無による比較を行うと, H-2 供試体は初期剛性が若干低下するとともに,最大荷 重到達直後に荷重が急激に低下するというせん断破 壊の挙動を示した.これは,ケミカルプレストレス によりせん断耐力が向上したものの,せん断補強筋 破断によるダウエル力に対する抵抗力の低下,およ び ASR 膨張による主鉄筋に沿ったひび割れが,載荷 により開口しやすくなったためであると考えられる.

7. 破断したせん断補強筋の有効性

H-2 供試体のせん断補強筋中央部および下縁部における荷重-ひずみ関係を図-4に示す.

図-4より、せん断補強筋下縁部ではひずみの増加がほとんど見られないものの、中央部で大きくひずみが増加したことから、破断位置からある程度離れた位置ではせん断補強筋として有効に働くことが確認された.別途行った付着試験から得られた鉄筋の有効定着長が5.5々であったことから、せん断補強筋

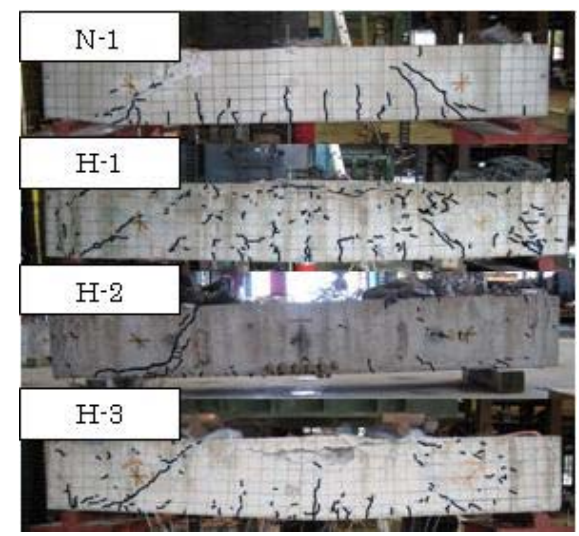


図-2 載荷後のひび割れ状況

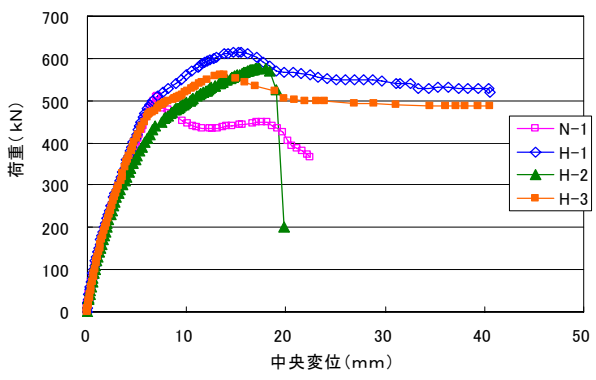
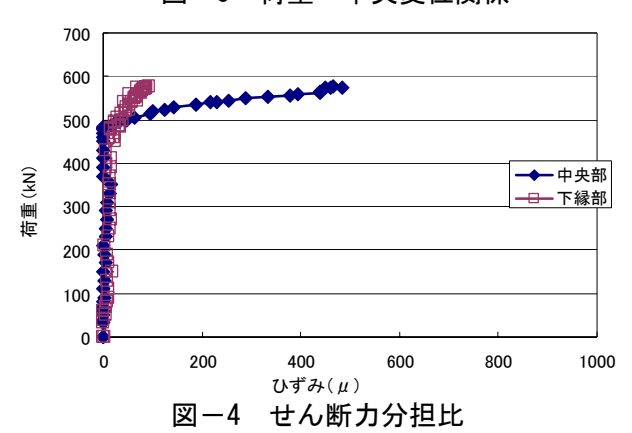


図-3 荷重-中央変位関係



が破断している場合でも、定着長が確保されている場合、せん断補強筋が有効に働くと推測される.

8. まとめ

本実験で使用した自由膨張量が 4400μ 程度の ASR コンクリートであれば、せん断補強筋の破断がない場合、ケミカルプレストレスによりせん断耐力が向上し、曲げ破壊に至ることが確認された.一方、せん断補強筋破断が見られる場合、ケミカルプレストレスによる耐力向上は見られるものの、最終的にはせん断付着破壊に至り、また最大荷重に至るまでの剛性も若干低下する傾向が伺えた.